



## اهمیت بافتی و ژئوشیمیایی کرومیت‌های موجود در آمیزه‌ی افیولیتی بافت: با نگاه سنگزايشی

نادیه محمدی<sup>۱\*</sup>، حمید احمدی‌پور<sup>۱</sup>، فرخناز دلیران<sup>۲</sup>

۱- بخش زمین‌شناسی، دانشگاه شهید بهمن، کرمان، ایران

۲- بخش زمین‌شناسی، دانشگاه کارلسروهه، کارلسروهه، آلمان

(دریافت مقاله: ۹۰/۲/۱، نسخه نهایی: ۹۰/۵/۲۰)

چکیده: معدن کرومیت گوشک یکی از بزرگترین و مهم‌ترین معادن کرومیت ایران به‌شمار می‌رود که در جنوب غربی استان کرمان، در ۵ کیلومتری شمال شهرستان بافت قرار دارد. این معدن با ۶۰ تن استخراج در روز، یکی از معدن‌های فعال کرومیت است و استخراج از آن، به روش روباز انجام می‌گیرد. کرومیت‌های مورد بررسی از نوع انبانی بوده و به صورت لایه‌های نامحدود و یا عدسی شکل، توسط دونیت‌های کاملاً سرپانتینیتی شده احاطه شده‌اند. کرومیت‌های موجود در منطقه، با میانگین  $\text{Cr}_2\text{O}_3$  برابر ۶۲/۸ درصد و  $\text{Mg}^+$  و  $\text{Cr}^{+3}$  از نوع کرومیت غنی از  $\text{Cr}^{+3}$  هستند و جزء کائنسنگ‌های کرومیت درجه یک دنیا محسوب می‌شوند. با استفاده از مقادیر  $\text{Mg}^+$  و  $\text{Cr}^{+3}$  می‌توان گفت که کرومیت‌های منطقه از گدازه‌ای با ترکیبی بونینیتی در زون ابرفراشی و در یک محیط وابسته به حوضه‌ی پشت قوس تشکیل شده‌اند. به نظر می‌رسد که ذخایر کرومیت بافت، نخست در مجموعه‌ی افیولیتی اولیه درون غلاف‌های دونیتی، تشکیل شده و سپس با جایگیری ملاتز، به درون زون‌های برشی رانده و در آن جا جایگزین شده‌اند.

واژه‌های کلیدی: آمیزه افیولیتی بافت؛ دونیت؛ سرپانتینیت؛ کرومیت؛ معدن گوشک.

آن را به عنوان یک محیط وابسته به فرورانش تدبیر به سن کرتاسه در نظر گرفته‌اند [۳،۲] و برخی دیگر آن را یک حوضه‌ی پشت کمان به سن کرتاسه پایانی معرفی کرده‌اند [۵،۴]. تعیین سن‌های پتابسیم-آرگون روی بلورهای آمفیبول موجود در گابروها و آمفیبولیت‌های کمربند افیولیتی نائین-بافت، دامنه‌ی سنی برای کرتاسه میانی تا کرتاسه بالایی (۶۷ تا ۱۱۳ میلیون سال) را به دست داده است [۶].

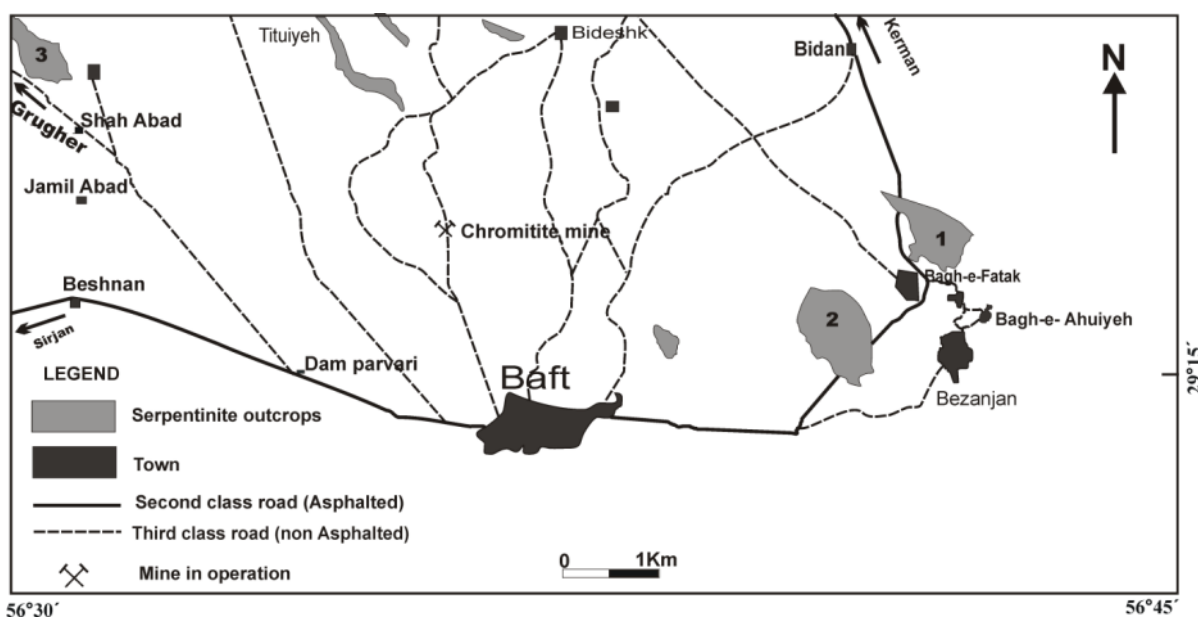
یکی از معادن مهم کرومیت در افیولیت بافت، معدن گدارسیز گوشک بافت است که در ۵ کیلومتری شمال غربی شهرستان بافت واقع شده است (شکل ۱) و با ۶۰ تن استخراج

### مقدمه

آمیزه‌ی افیولیتی بافت، جزئی از افیولیت نائین-بافت بوده و بین طول‌های جغرافیایی  $56^{\circ}$ ،  $55^{\circ}$  و  $55^{\circ}$ ،  $47/5^{\circ}$  و  $56^{\circ}$  و عرض‌های جغرافیایی  $14^{\circ}$ ،  $29^{\circ}$  و  $36/5^{\circ}$  در طول گسل‌های بافت و شهر بابک در جنوب غربی استان کرمان قرار گرفته است. این آمیزه افیولیتی توسط زمین‌شناسان متعددی مورد بررسی قرار گرفته است. برخی آن را به عنوان یک محیط اقیانوسی باریک همانند دریای سرخ که در بین بلوک لوت و حاشیه فعال بلوک ایران مرکزی یا زون سندنج-سیرجان (یعنی شاخه‌ای از نئوتیس) باز شده است [۱] می‌دانند و عده‌ای دیگر

که کرومیت‌های منطقه، بین ۶۲-۶۴ درصد  $\text{Cr}_2\text{O}_3$  دارند، جزء کرومیت‌های درجه‌ی یک دنیا محسوب می‌شوند و بنابراین از نظر اقتصادی دارای اهمیت بالایی هستند. در این پژوهش، با استفاده از بررسی‌های ساختی، بافتی، کانی‌شناسی و رئووشیمیابی، به تعیین خاستگاه کانسار کرومیت مورد بررسی و ماقمای سازنده‌ی آن پرداخته شده و سپس محیط تشکیل و چگونگی جایگیری آن‌ها در سنگ میزانشان (سرپانتینیت) مورد بررسی قرار گرفته است.

در روز، یکی از معدن‌های فعال و بزرگ کرومیت در ایران محسوب می‌شود. استخراج از این معدن، به روش روباز انجام می‌گیرد (شکل ۲) و توسط بخش خصوصی مدیریت می‌شود. از آن‌جاکه کرومیت‌های موجود در آمیزه‌ی افیولیتی بافت، هم به صورت عدسی شکل و هم به صورت لایه‌ای با گسترش طولی محدود بین دونیت‌ها دیده می‌شوند، بنابراین طبیعت پادیفرم و غیرلایه‌ای بودن آن مشخص و ثابت است. در حال حاضر گفته می‌شود که حداقل میزان  $\text{Cr}_2\text{O}_3$  موجود در سنگ کرومیت که استخراج آنرا مقرر می‌سازد ۴۰٪ است و از آنجائی-



شکل ۱ موقعیت معدن کرومیتیت گدار سبز گوشک در بین رخنمون‌های سرپانتینیتی منطقه بافت و راههای دسترسی به آن‌ها، با اقتباس از نقشه زمین‌شناسی ۱:۱۰۰۰۰۰ بافت، ورقه ۷۳۴۸ (۱۹۷۲).



شکل ۲ الف: نمایی از بهره برداری به روش روباز از معدن کرومیت گوشک بافت. ب: نمایی از شیب دیواره‌های گودال در معدن گوشک بافت (جهت دید تصاویر به سمت جنوب است).

## ویژگی‌های ساختی و بافتی کرومیت‌های آمیزه‌ی افیولیتی بافت و سنگ میزبان آن

کرومیت‌های موجود در آمیزه‌ی افیولیتی مورد بررسی از نوع نیامی (پادیفرم) بوده و به صورت لایه‌های غیرممتد و یا عدسی-شکل دیده می‌شوند که با دونیت‌های کاملاً سرپانتینیتی شده احاطه شده‌اند. کرومیت‌های نوع لایه‌ای به صورت رگه‌هایی با ضخامت چند متر در سنگ مادر دونیتی دیده می‌شوند که از سطح به عمق، به ضخامت آن‌ها افزوده می‌شود. رگه‌های کرومیتی با رنگ تیره درون سنگ مادر دونیتی سرپانتینیتی-شده با رنگ روشن کاملاً مشخص‌اند (شکل ۳ الف). این ویژگی‌ها نشان‌دهنده‌ی واپستگی آن‌ها به کرومیت‌های نوع آلپی است، زیرا کرومیت‌های نوع آلپی (نیامی) نامنظم و عدسی‌شکل‌اند و درون پریدوتیت‌های آلپی و یا مجموعه‌های افیولیتی دیده می‌شوند [۸]. این امر نشان‌دهنده‌ی تشکیل آن‌ها در محیط گوشه‌های است و برخلاف کرومیت‌های لایه‌ای (مانند بوشولد، گربت دایک و یا اسکارگارد) که در محیط پوسته‌ای تشکیل شده‌اند و لایه‌های آن‌ها تا چندین کیلومتر قابل بی‌گیری است، دارای گستردگی کمی هستند و تا مسافت‌های طولانی قابل تعقیب نیستند. ذخایر کرومیتی عدسی‌شکل در منطقه، درون دونیت‌ها قرار داشته و قطر آنها به یک متر می‌رسد. این ذخایر دو نوع بافت توده‌ای (massive texture) و پراکنده (disseminated texture) را نشان می‌دهند. کرومیت‌های بافت پراکنده در منطقه، در قالب دانه‌های ریزی در متن سنگ دونیتی پخش شده‌اند (شکل ۳ ب) و بررسی‌های میکروسکوپی نشان می‌دهد که در این سنگ‌ها، کرومیت حدود ۳۰ تا ۴۰ درصد سنگ را به خود اختصاص داده است، بنابراین سنگ‌های مورد نظر را بهتر است دونیت‌های کرومیت‌دار (Chromifer dunite) بنامیم. در این سنگ‌ها قطر دانه‌های کرومیت به ۲ تا ۳ میلی‌متر می‌رسد و در اکثر بلورها شکستگی‌های فراوانی دیده می‌شوند (شکل ۳ پ). از ویژگی‌های شاخص کرومیت‌های منطقه، میزان دگرسانی پایین در آن‌هاست؛ به طوری که دانه‌های کرومیت فقط در راستای برخی از شکستگی‌ها، در حال مگنتیتی‌شدن هستند. (شکل ۳ ت) که ارزش اقتصادی آن‌ها را دوچندان کرده است. از جمله ادخال‌های موجود در دانه‌های کرومیت، الیون است که اکنون به طور کامل از بین رفته و به وسیله‌ی سرپانتین جایگزین شده است. به احتمال زیاد سرپانتین حاصل از این

## روش‌های بررسی

بررسی‌های انجام‌شده روی کرومیت‌های موجود در آمیزه افیولیتی، شامل بررسی‌های صحرایی، آزمایشگاهی و ژئوشیمیایی است. به منظور بررسی‌های ژئوشیمیایی از یک میکروسکوپ با ریزکاونده‌ی الکترونی مدل JEOL JXA 8900 SUPERPROBE با ولتاژ شتابدهنده ۱۵ کیلووات و جریان ۱۵ نانوآمپری و قطر ۵ میکرومتر دانشگاه مونستر آلمان استفاده شد. علاوه بر آن، نتایج آنالیزهای Shfaii Moqadam و همکاران [۷] که با استفاده از یک تحلیلگر ریزکاونده‌ی الکترونی روی کرومیت‌های این منطقه انجام شده بود نیز مورد استفاده قرار گرفتند.

## بحث و بررسی

موقعیت منطقه مورد مطالعه و تاریخچه مطالعاتی معادن کرومیت آمیزه افیولیتی بافت

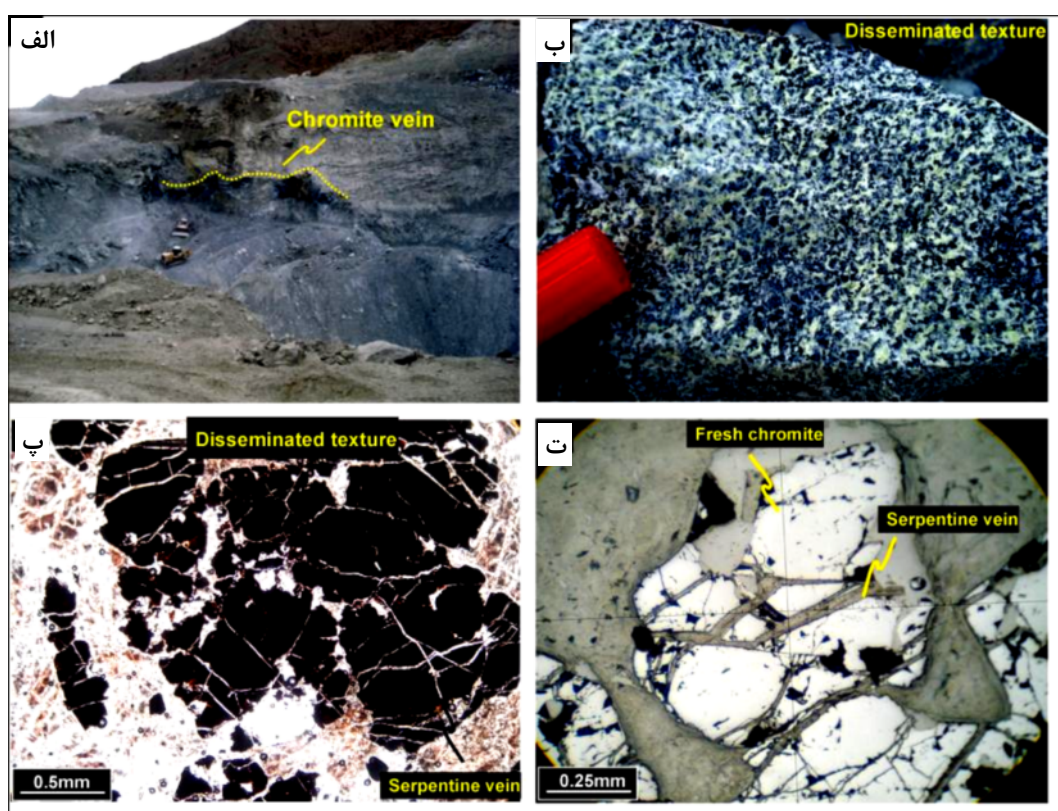
آمیزه افیولیتی بافت با مساحت تقریبی ۶۱۷ کیلومتر مربع، در راستای دو گسل بزرگ بافت و شهربابک در جنوب غربی استان کرمان قرار دارد. مهم‌ترین ذخیره‌ی معدنی قابل استخراج در آمیزه افیولیتی بافت، کرومیت است که به‌شکل رگه‌های ناممتد و یا عدسی‌مانند در دونیت‌های سرپانتینیتی شده قرار گرفته‌اند. اولین بررسی‌ها در این منطقه توسط یوگسلاوهای به منظور تهیی نشده‌های ۱:۱۰۰۰۰ در مناطق بافت و بلورد در سال ۱۹۷۲ صورت گرفت. در همان بررسی‌ها، وجود دو عدسی کرومیت در حوالی روستای جمیل آباد گزارش شده بود. با توجه به شواهد موجود در منطقه، ذخایر کرومیت منطقه بافت، در محله‌ای که در سطح بیرون‌زدگی داشته‌اند، از گذشته و حدائق از سال ۱۳۳۰ به بعد، توسط افراد محلی شناسایی شده بودند، به نحوی که در منطقه بیدجاجی در حدود ۳ کیلومتری شمال بافت، طی سال‌های بعد از ۱۳۳۵ دو عدسی کرومیت که در سطح زمین بیرون‌زدگی داشته‌اند، مورد بهره برداری قرار گرفته و هنوز آثار معدنکاری و کاسنگ‌های استخراج شده در منطقه دیده می‌شود. ذخایر کرومیت منطقه‌ی بافت در نقاط متعددی از جمله حوالی روستاهای آسیاجفت، رسکوئیه، تیتوئیه، شاه‌آباد و پلنگی واقع شده‌اند. معدن کرومیت گدار سبز گوشک بافت از بزرگترین معادن کرومیت در این منطقه است که در ۵ کیلومتری شمال غربی شهرستان بافت واقع شده است (شکل ۱) و در این پژوهش مورد بررسی قرار گرفته است.

رگه‌ها تشکیل شده و رنگ‌های تداخلی سری اول (خاکستری، نارنجی و زرد کمرنگ) را نشان می‌دهد و معمولاً دارای خاموشی موجی است؛ در حالی‌که رشد کریزوتیل در رگه‌ها به صورت رشته‌های بسیار نازکی است که به موازات هم و به‌صورت رشته‌های قائم و یا مورب تشکیل شده، ولی در مقایسه با لیزاردیت دارای رنگ‌های تداخلی مشابهی هستند (شکل ۴ الف و ب).

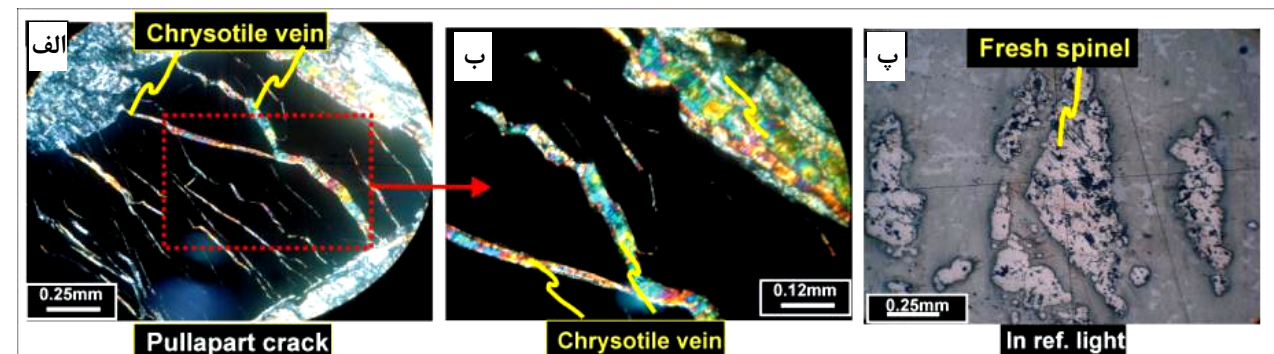
شکستگی‌های کششی همیشه در نتیجه‌ی اعمال تنش‌های زمین‌ساختی ایجاد نمی‌شوند، بلکه در نتیجه‌ی سرپانتینیتی‌شدن سیلیکات‌های اطراف کرومیت و یا سیلیکات‌های محبوس در آن، ممکن است تشکیل شوند. در مواردی که ادخال‌های الیوین درون دانه‌های کرومیت، سرپانتینیتی شوند، شکل ترک‌های کششی به وجودآمده معمولاً از یک الگوی شعاعی پیروی می‌کند. گاهی نیز ترک‌های کششی یاد شده، سبب شده‌اند که دانه‌ی کرومیت شکسته و قطعات کاملاً از هم جدا شوند (شکل ۴ ب).

بافت‌ها، لیزاردیت است که به صورت شبه‌ریخت‌های فیبری نازک و یا تودهایی، جانشین الیوین شده و با ایجاد بافت ساعت شنی (Mesh texture) و شبکه‌ای (Hourglass texture) و شبکه‌ای (Mesh texture) همراه است.

به دلیل اعمال نیروهای زمین‌ساختی چه حین جایگزینی کرومیت‌ها و چه پس از آن، شکستگی‌های فراوانی در دانه‌های کرومیت ایجاد شده که با زوایای مختلف، یکدیگر را قطع کرده‌اند. در میان انبوه شکستگی‌های ایجادشده در دانه‌های کرومیت، در اثر فازهای دگرشکلی بعدی، رگه‌های سرپانتینیتی به میزان زیادی گسترش یافته‌اند (شکل ۳ ت). از جمله بافت‌های مهم حاصل از شکستگی‌های فوق، ترک‌های کششی (pull-apart crack) است که در بسیاری از آن‌ها گسترش یافته است. این شکستگی‌ها معمولاً عمود بر راستای طوبیل‌شده‌گی دانه است (شکل ۴ الف و ب) و معمولاً با رگه‌های کریزوتیلی (شکل ۴ الف و ب)، لیزاردیتی و یا رگه‌های نوع پرکننده شکاف (crack-seal) پر شده است. در سنگ‌های مورد بررسی، لیزاردیت معمولاً به صورت تودهای و یا ریزدانه در



شکل ۳ الف: نمایی از رگه‌های غیر ممتد کرومیت با رنگ تیره در سنگ میزبان دونیتی معدن گوشک بافت (جهت دید به سمت جنوب غربی است). ب: بافت پراکننده کرومیت‌های موجود در دونیت‌ها در نمونه‌ی دستی. پ: کرومیت با بافت پراکننده حاوی شکستگی‌های فراوان (در نور طبیعی). ت: نمایی از دانه‌های کرومیت نادگرسان با شکستگی‌های فراوان که بین آن‌ها رگه‌های سرپانتین رشد کرده‌اند (در نور منعکس).



شکل ۴ الف: نمایی از شکستگی‌های کششی (pull-apart crack) در کرومیت‌های آمیزه‌ی افیولیتی بافت که عمود بر محور بلند دانه کرومیت هستند و با رشتهداری ژریف کربیزوتیل پر شده‌اند (حالت apl). ب: بخشی از رگه کربیزوتیلی شکل قبل با نمایی بزرگ‌تر (حالت xpl). پ: شکستگی‌های کششی در یک دانه کرومیت که سبب قطعه‌قطعه شدن دانه‌ی اولیه و جداشدن قطعات از یکدیگر شده است (در نور بازتابی).

شود، کرومیت‌های موجود در کرومیتیت‌های منطقه، از نوع کرومیت غنی از Cr هستند؛ به طوری که میانگین  $\text{Cr}_2\text{O}_3$  در آنها برابر  $62/8$  درصد و میانگین # Cr#  $0.83$  است که نشان می‌دهد که ترکیب آن‌ها مشابه کرومیت‌هایمعدنی است. برخی ویژگی‌های شیمیایی همچون میزان بالای  $\text{TiO}_2$  در نمونه‌های کرومیتیتی، تعلق آن‌ها را به کرومیت‌های متبلور شده از بونینیت نشان می‌دهد. در نمودار نسبت  $\text{TiO}_2$  و  $\text{Cr} \#$  (شکل ۵ الف)، علیرغم این‌که اسپینل‌های موجود در پریدوتیت‌های منطقه، در گستره‌ی پریدوتیت‌های تهی شده قرار می‌گیرند؛ ولی تمامی نمونه‌های کرومیتی در میدان بونینیت Zhou و همکاران [۱۰] اسپینل‌هایی که در این میدان واقع می‌شوند، می‌توانند از گدازه‌های بونینیتی متبلور شده باشند. نمودار  $\text{Cr}_2\text{O}_3$  نسبت به  $\text{Al}_2\text{O}_3$  (شکل ۵ ب) و نیز شکل‌های ۶ الف و ۶ ب نیز گویای این مسئله است که کرومیتیت‌های منطقه مورد بررسی از نوع پادیفرم (آلپی) بوده و احتمالاً از گدازه‌ای با ترکیبی بونینیتی متبلور شده‌اند. در تمامی نمودارهای یادشده، گستره‌ی ترکیبی اسپینل‌های موجود در کرومیتیت‌ها، کاملاً از گستره‌ی هارزبورزیت‌ها متمایز است. چنین ویژگی‌های شیمیایی ممکن است بیانگر آن باشد که یک فرایند خاص غیر از ذوب‌بخشی سنگ‌های میزان، بایستی در تشکیل کرومیتیت‌های این منطقه دخیل باشد. این فرایند، احتمالاً واکنش سنگ-گدازه است که در حال حاضر، فقط آثار آن را می‌توان به صورت وجود انواع مختلف کانی‌های اسپینل در سنگ‌ها مشاهده کرد.

دونیت‌های میزان کرومیت‌های منطقه، شدت بالای سرپانتینیتی شدن را تحمل کرده‌اند، به‌طوری‌که هیچ الیون سالمی در آن‌ها باقی نمانده و تمامی الیون‌ها با تشکیل بافت شبکه‌ای و یا ساعت شنی به سرپانتین نوع لیزاردیت تبدیل شده‌اند. علاوه بر الیون، اندک ارتوپیروکسن‌های منطقه نیز از سرپانتینیتی شدن مصون نمانده‌اند و به‌طور کامل به وسیله‌ی باستیت جایگزین شده‌اند. با توجه به بافت‌های ایجادشده در اثر دگرسانی کانی غالب الیون در دونیت‌های میزان کرومیت‌های مورد بررسی، مشخص می‌شود که این دونیت‌ها نیز همراه با دیگر پریدوتیت‌های منطقه، تحت تأثیر پدیده‌ی سرپانتینیتی شدن قرار گرفته‌اند و تمامی الیون‌های اولیه از بین رفته‌اند. این شواهد و شدت بالای سرپانتینیتی شدن در دونیت‌های میزان کرومیتیت‌ها، نشان‌دهنده‌ی واپستگی آن‌ها به نوع آلپی است؛ زیرا سرپانتینیتی شدن در کانسارهای نوع آلپی گسترش زیادی دارد [۹]. علاوه بر گسترش فراوان کانی‌های سرپانتین در دونیت‌های یاد شده، تالک‌ها از دیگر کانی‌های ثانویه هستند که به میزان فراوانی در زمینه و روی کانی‌های سرپانتین، رشد کرده‌اند و به علت فراوانی می‌توانند به‌منظور پی‌جویی و بهره برداری معدنی مورد توجه قرار گیرند.

**پتروژنز کرومیتیت‌های آمیزه‌ی افیولیتی بافت**  
گرچه کرومیتیت‌های مورد بررسی، بافت و ساخت اولیه‌ی خود را تا حدود زیادی از دست داده‌اند، ولی ترکیب شیمیایی آن‌ها هنوز قابل استفاده بوده و نشانه‌ی خاستگاه ماقمایی برای آن‌هاست. نتایج آنالیز کرومیت‌های آمیزه‌ی افیولیتی بافت در جدول ۱ نشان داده شده‌اند و چنانکه در این جدول دیده می-

جدول ۱ نتایج تجزیه ریزکاوندهی الکترونی کرومیت‌های موجود در کرومیت‌های آمیزه‌ی افیولیتی بافت (تجزیه‌های وابسته به نمونه‌های BT06-41 توسط Shafaii Moqadam [۷] تهیه شده است).

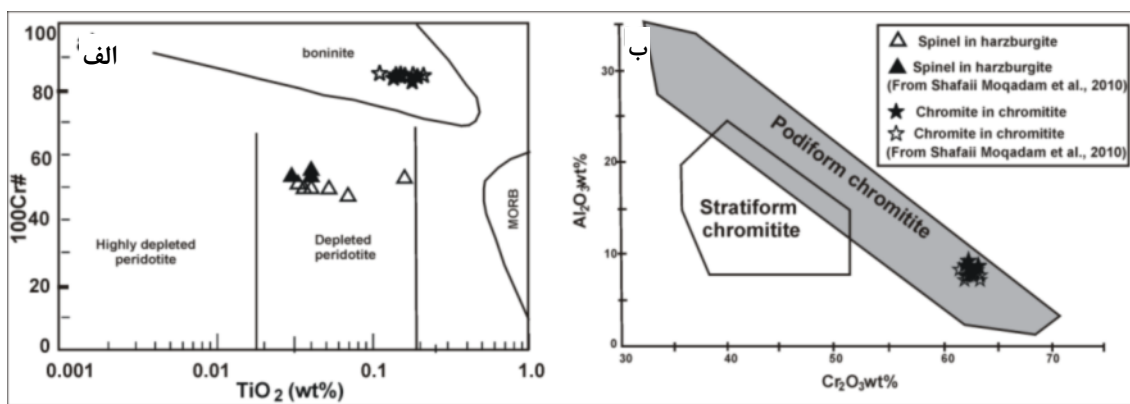
samples	CH19	CH20	CH21	BT06-41							
SiO <sub>2</sub>	0,05	0,04	0,01	0,00	0,00	0,03	0,02	0,03	0,02	0,00	0,00
TiO <sub>2</sub>	0,14	0,18	0,19	0,15	0,11	0,18	0,14	0,21	0,15	0,16	0,15
Al <sub>2</sub> O <sub>3</sub>	8,68	9,24	8,32	7,99	7,83	7,87	7,98	8,06	8,32	8,02	8,01
Cr <sub>2</sub> O <sub>3</sub>	63,48	62,57	62,70	63,91	63,82	62,03	62,39	62,65	63,15	62,12	62,47
FeO (T)	14,96	14,55	14,67	13,97	14,11	14,86	14,97	15,24	14,21	15,58	15,30
MnO	0,27	0,29	0,32	0,00	0,00	0,00	0,00	0,00	0,00	0,00	0,00
MgO	15,13	15,21	15,03	13,55	13,65	13,66	13,74	13,42	13,73	13,77	13,69
CaO	0,03	0,02	0,02	0,00	0,00	0,04	0,00	0,00	0,00	0,01	0,00
NiO	0,15	0,18	0,08	0,09	0,08	0,07	0,15	0,14	0,10	0,09	0,08
Totals	10,289x	10,230x	10,135	10,107	10,114	10,044	10,116	10,133	10,147	10,183	10,158
Oxygen p.f.u	4	4	4	4	4	4	4	4	4	4	4
Si	0,00	0,00	0,00	0,00	0,00	0,00	0,00	0,00	0,00	0,00	0,00
Ti	0,00	0,00	0,01	0,00	0,00	0,00	0,01	0,00	0,00	0,00	0,00
Al	0,32	0,34	0,31	0,31	0,30	0,30	0,31	0,31	0,32	0,31	0,31
Cr	1,57	1,55	1,57	1,65	1,65	1,61	1,61	1,61	1,62	1,60	1,61
Fe3+	0,10	0,10	0,11	0,04	0,05	0,07	0,07	0,06	0,05	0,09	0,08
Fe2+	0,29	0,29	0,29	0,34	0,34	0,33	0,35	0,34	0,34	0,34	0,34
Mn	0,01	0,01	0,01	0,00	0,00	0,00	0,00	0,00	0,00	0,00	0,00
Mg	0,71	0,71	0,71	0,66	0,66	0,67	0,67	0,65	0,67	0,67	0,66
Ca	0,00	0,00	0,00	0,00	0,00	0,00	0,00	0,00	0,00	0,00	0,00
Ni	0,00	0,01	0,00	0,00	0,00	0,00	0,00	0,00	0,00	0,00	0,00
tot.cat.	3	3	3	3	3	3	3	3	3	3	3
Mg#	0,64	0,65	0,65	0,63	0,63	0,62	0,62	0,61	0,63	0,61	0,61
Cr#	0,83	0,82	0,84	0,84	0,84	0,84	0,84	0,84	0,84	0,84	0,84

$$\text{Cr\#} = [\text{Cr}/(\text{Cr}+\text{Al})]$$

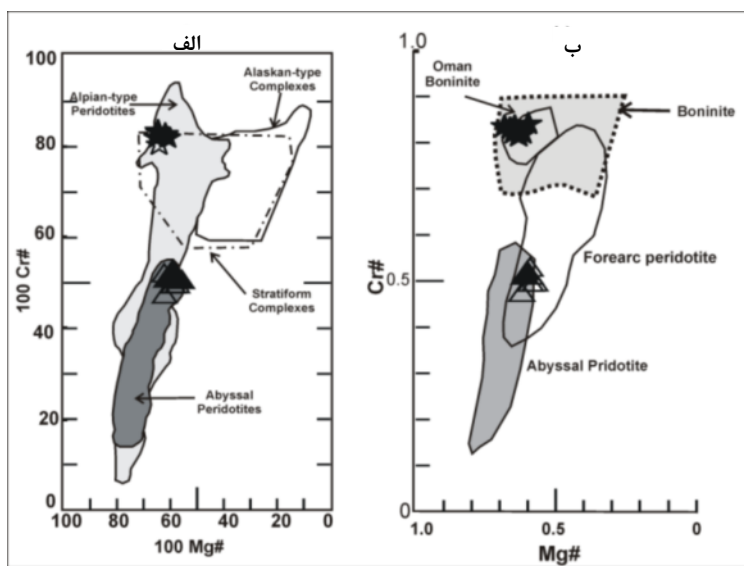
$$\text{Mg\#} = [\text{Mg}/(\text{Mg}+\text{Fe})]$$

$$\text{FeO(t)} = \text{FeO} + \text{Fe}_2\text{O}_3$$

x میزان بالای مجموع اکسیدها در نمونه‌های CH19 و CH20 احتمالاً به دلیل خطای آزمایش است.



شکل ۵ الف: تغییرات  $\text{TiO}_2$  نسبت به  $\text{Cr\#}$  در اسپینل‌های آمیزه افیولیتی بافت که تمامی کرومیت‌های منطقه در گستره‌ی بونینیتها قرار می‌گیرند. گستره‌ی بونینیتها و بازلته‌های رشته‌های میان‌اقیانوسی (MORB) از [۱۱] و [۱۲] Arazi & Dick & Bullon [۲۵] گرفته شده است. ب: تفکیک کرومیت‌های پادیفرم و استراتیفرم با استفاده از مقدار  $\text{Al}_2\text{O}_3$  و  $\text{Cr}_2\text{O}_3$ . این نمودار نشان می‌دهد که کرومیت‌های آمیزه افیولیتی بافت، غیرلایه‌ای و از نوع پادیفرم هستند.



شکل ۶ الف: نمودار  $\text{Mg} \#$  نسبت به  $\text{Cr} \#$  که نشان‌دهنده وابستگی کرومیت‌های آمیزه‌ی افیولیتی بافت به نوع آپی است. گستره‌های وابسته به پریدوتیت‌های نوع آپی، کمپلکس‌های لایه‌ای و پریدوتیت‌های آبیسال از Dick & Bullen [۱۱] است. ب: نمودار  $\text{Mg} \#$  نسبت به  $\text{Cr} \#$  [۱۱] که نشان می‌دهد کرومیت‌های منطقه مانند کرومیت‌های افیولیت عمان از گدازه‌ای با ترکیب بونینیتی متبلور شده‌اند. (علامت‌های بکارگرفته شده مانند شکل ۵ هستند).

همکاران [۱۰]، چنین گدازه‌های گوشه‌ای، در آغاز می‌توانند الیوین و سپس کرومیت را متبلور سازند و یا در اثر واکنش با پریدوتیت‌های گوشه و اختلاط با گدازه‌های تحلیل یافته‌تر، ترکیبیشان به سمتی هدایت شود که کرومیت به عنوان تنها کانی، از آنها به وجود آید.

برای محاسبه‌ی مقدار  $\text{Al}_2\text{O}_3$  موجود در ماقمای سازنده‌ی کرومیت‌ها، می‌توان از فرمول Maurel & Maurel [۱۷] استفاده کرد. در این فرمول از میزان  $\text{Al}_2\text{O}_3$  موجود در کرومیت استفاده شده است (رابطه‌ی ۱) و این میزان می‌تواند شاخص مطمئنی برای برآورد ترکیب گدازه‌ی اولیه باشد؛ زیرا فراوانی  $\text{Al}_2\text{O}_3$  کرومیت، بستگی به ترکیب گداره داشته که خود تابعی از فشار، دما، درجه‌ی ذوب‌بخشی و ترکیب فازی و شیمیایی خاستگاه تشکیل‌دهنده‌ی گدازه می‌باشد [۱۸].

رابطه ۱:

$$\text{Al}_2\text{O}_3 \text{ wt\% chromite} = 0.035 (\text{Al}_2\text{O}_3)^{2.42} \text{ wt \% liquid}$$

با قراردادن میزان  $\text{Al}_2\text{O}_3$  موجود در کرومیت‌های آمیزه‌ی افیولیتی بافت در رابطه‌ی ۱، مقدار  $\text{Al}_2\text{O}_3$  گدازه‌ی اولیه سازنده کرومیت‌های منطقه مورد بررسی بین ۹/۶ تا ۱۰/۱٪ به دست می‌آید (میزان  $\text{Al}_2\text{O}_3$  در کرومیت‌ها بین ۸/۳۲ تا ۹/۲۴ است) که این مقدار، مشخصه گدازه‌های بونینیتی است (جدول ۲؛ زیرا  $\text{Mg}$  بالا در الیوین ( $\sim\text{Fo}_{95}$ )،  $\text{Cr}$  بالا در کرومیت ( $\text{Cr} \# \sim 80$ ) و میزان  $\text{Al}_2\text{O}_3$  بین ۹/۱۱ تا ۱۱/۱۶٪

طبیعت ماقمای سازنده کرومیت‌های آمیزه افیولیتی بافت با استفاده از برخی پارامترهای پیشنهادی توسط پژوهشگران، تا حدودی می‌توان به ترکیب ماقمای مادر سازنده‌ی سنگ‌ها پی برد. کانی‌های کرومیت و الیوین، شاخص‌های سنگ‌زایی بسیار حساسی هستند که با استفاده از ترکیب شیمیایی آن‌ها، می‌توان به ماهیت شیمیایی ماقمای مادر پی برد [۱۰-۱۲]. در این بررسی، از آن جا که بلورهای الیوین به طور کامل از بین رفته‌اند و کرومیت، تنها فاز پایداری است که ترکیب شیمیایی آن، تغییر چندانی نکرده است، لذا سعی شده تا با استفاده از ترکیب شیمیایی کرومیت، شیمی ماقمای سازنده‌ی سنگ‌های کرومیتی منطقه، تا حدودی بازسازی شود.

چنانکه در بحث‌های قبلی عنوان شد، ماقمای سازنده‌ی کرومیت‌های منطقه، ماقمایی با طبیعت بونینیتی است و از طرفی مقدار بالای  $\text{Cr} \#$  در کرومیت‌ها، نشان‌دهنده‌ی تبلور آن از یک ماقمای بونینیتی است [۱۳] که در مورد کرومیت‌های منطقه مورد بررسی، این مسئله صدق می‌کند. عموماً عقیده بر این است که بونینیت‌ها از گوشه شدیداً تهی شده و دیرگذاری تولید می‌شوند که با شاره‌ها دگرنهاد شده است. این شاره‌های غنی از  $\text{Cr}$  و  $\text{Ba}$  بوده و از لیتوسفر فرورو آزاد شده‌اند [۱۴]؛ از طرف دیگر ماقمایی که مادر کاسارهای کرومیتی آپی باشند، باید از آب اشباع باشند تا بتوانند این نوع کاسارهای را بازسازند [۱۵]. بنابر بررسی‌های Zhou [۱۶] و Nizier و

ابرانشی، پشت قوس (back-arc basin) باشد، نه منطقه جلوی قوس، زیرا اگرچه ترکیب کروماسپینل‌های منطقه در نمودار ۷ پ در گستره مشرک حوضه‌ی پشت قوس و جلوی قوس قرار می‌گیرد، اما بنا بر عقیده Dick و Bullen [۱۱]، میزان CI# موجود در کروماسپینل‌های وابسته به پریدوتیت‌های جلوی قوس، بیشتر از ۶۵٪ بوده و حتی تا بالای ۸۵٪ می‌رسد، در حالی که این میزان در کروماسپینل‌های موجود در پریدوتیت‌های مورد بررسی، کمتر از ۰٪ است [۲۱]؛ از طرفی دیگر بررسی‌های برخی پژوهشگران قبلی نیز مؤید یک حوضه‌ی پشت قوس برای آمیزه‌ی افیولیتی بافت است (مانند Robinson و Arvin [۲۲]، Shahabpour [۴]، Shahabpour [۴]، معتقد است که آمیزه‌ی رنگین بافت، باقیمانده‌ی یک حوضه پشت قوس است که در اثر برخورد کمان ماقمایی نیز با حاشیه‌ی فعال قاره‌ای سرندج-سیرجان ایجاد شده است. بنابراین منطقه‌ی تر به نظر می‌رسد که حوضه‌ی ابرفرورانشی منطقه‌ی مورد بررسی، یک حوضه‌ی پشت قوس باشد تا جلوی آن.

بر اساس بررسی‌های انجام شده [۲۳]، گوهی گوشه‌ای در مناطق فرورانش (زون ابرفرورانشی)، یکی از ایده‌آل‌ترین مکان‌ها برای تولید گدازه‌های بونینیتی است و از طرفی دیگر، مشخص شده که برای تشکیل کرومیتیت‌های نیامی‌شکل، وجود یک محیط آبدار الزامی بوده و چنین محیطی در گوهی گوشه‌ای بالای مناطق فرورانش دیده می‌شود [۲۴، ۱۷] که این خود شاهدی دیگر بر محیط زمین‌ساختی ابرفرورانشی برای تشکیل کرومیتیت‌های منطقه است. با این توصیف‌ها به نظر می‌رسد که ذخایر کرومیت منطقه‌ی بافت با یک خاستگاه ماقمایی بونینیتی، نخست در مجموعه‌ی افیولیتی اولیه در داخل لایه‌های دونیتی درون هارزبورزیت‌های بخش تحتانی افیولیت بافت، تشکیل شده و سپس با جایگیری ملازن، به درون زون‌های برشی رانده و در آن جا جایگزین شده‌اند.

درصد، سرشتی گدازه‌های بونینیتی در محیط‌های ابرفرورانشی (سوپراسابداکشن) هستند [۱۹]. در جدول ۲، ترکیب کرومیت‌های موجود در افیولیت Tehuitzingo [۲۰] نیز برای مقایسه نشان داده شده است.

#### محیط زمین‌ساختی و چگونگی جایگیری کرومیتیت‌های موجود در آمیزه افیولیتی بافت

یکی از سوال‌های اساسی در مورد کرومیتیت‌ها، محیط تشکیل آنهاست. به همین دلیل، مؤلفین مختلف، سعی کرده‌اند که بر اساس شواهد موجود در منطقه‌ی مورد بررسی خود، و یا با استفاده از داده‌های شیمیایی، زمین‌ساختی، بافتی و ساختی کرومیتیت‌ها در نقاط مختلف، الگوهای زمین‌ساختی و محیط‌های خاصی را برای کرومیتیت‌ها ارائه نمایند (مانند Zhou و همکاران [۱۰]). در اینجا سعی می‌شود تا با اطلاعات موجود، محیط زمین‌ساختی کرومیتیت‌های بافت مورد بررسی قرار گیرد.

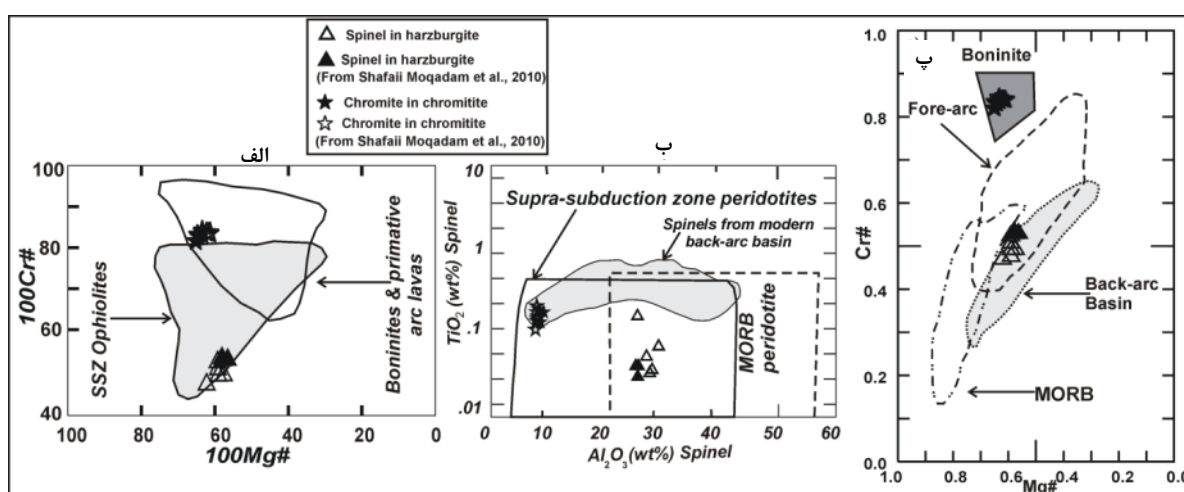
داده‌های شیمیایی حاصل از تجزیه کرومیت‌های بافت نشان می‌دهد که احتمالاً کرومیتیت‌های این منطقه در یک محیط ابرفرورانشی تشکیل شده‌اند. با استفاده از دو پارامتر Cr# و Mg# در شکل ۷ الف مشخص می‌شود که محل تشکیل پریدوتیت‌های منطقه، یک گداره بونینیتی متبلور شده‌اند. کرومیتیت‌های منطقه از یک گداره بونینیتی متبلور شده‌اند. هم‌چنین در نمودار شکل ۷ ب که در آن با استفاده از نسبت  $\text{Al}_2\text{O}_3/\text{TiO}_2$  موجود در کرومیت‌ها، محیط‌های ابرفرورانشی و مورب (MORB) از هم تفکیک شده‌اند [۱۸]، محیط تشکیل کرومیتیت‌های منطقه مورد بررسی، منطبق بر محیط پریدوتیت‌های زون ابرفرورانشی است. در نمودار ۷ پ نیز ترکیب کرومیت‌های مورد بررسی در گستره مشرک حوضه‌ی پشت قوس و جلوی قوس قرار می‌گیرد.

تمامی شواهد و نمودارهای بالا (شکل ۶ و ۷) نشان‌دهنده‌ی تشکیل کرومیتیت‌های منطقه از یک ماقمای بونینیتی است که در زون ابرفرورانشی تشکیل شده‌اند. به نظر می‌رسد که محیط

**جدول ۲** میانگین درصد وزنی  $\text{Al}_2\text{O}_3$  موجود در گدازه‌ی بونینیتی در حال تعادل با کرومیت‌های اولیه موجود در سرپانتینیت‌های آمیزه‌ی افیولیتی بافت.

	$\text{Al}_2\text{O}_3(1)$	منبع
کرومیت افیولیت بافت	۹.۶-۱۰.۰۱	در این مطالعه
کرومیت افیولیت Tehuitzingo	۱۵.۳۰	[۲۰] Proenza et al.
بونینیت	۱۰.۶-۱۴.۴	[۲۹] Wilson
(MORB)	۱۶.۰۰	[۲۹] Wilson
(Back-arc basin)	۱۶.۰۰>	[۳۰] Fryer et al.

<sup>(۱)</sup> Maurel and Maurel [17]. <sup>(۱)</sup>  $\text{Al}_2\text{O}_3 \text{ wt\% chromite} = 0.035 (\text{Al}_2\text{O}_3)^{2.42} \text{ wt \% liquid}$



شکل ۷ الف: نمودار  $\text{Cr}\#/\text{Mg}\#$  برای تعیین محیط زمین‌ساختی کرومیت‌های آمیزه‌ی افیولیتی بافت. گسترهای افیولیتی زون ابرفرورانشی (SSZ) و بونینیت‌های گدازه‌های قوسی اولیه از Bridges و همکاران [۲۷] است. ب: نمودار  $\text{Al}_2\text{O}_3/\text{Cr}_2\text{O}_3$  برای تعیین  $\text{TiO}_2$  نسبت به  $\text{Al}_2\text{O}_3$  از Kamenetsky و همکاران [۱۸] است. پ: نمودار  $\text{Cr}\#/\text{Mg}\#$  برای تعیین حوضه‌ی زمین‌ساختی واپسته به محیط ابرفرورانشی منطقه‌ی مورد بررسی به نقل از Dick & Bullen [۱۱] و Ohara و همکاران [۲۸].

*paleogeographic implications*", Chemical Geology, 39 (1983) 39-63.

[3] Ghazi A. M., Hassanipak A. A., "Petrology and geochemistry of the Shahr-Babak ophiolite, Central Iran", Geological Survey of America, Special paper, 349 (2000) 485-497.

[4] Shahabpour J., "Tectonic evolution of the orogenic belt in the region located between Kerman and Neyriz", Journal of Asian Earth Sciences, 24 (2005) 405-417

[5] Agard P., Monie P., Gerber W., Omrani J., Molinaro M., Meyer B., Labrousse L., Vrielynck B., Jolivet L., Yamato P., "Transient, synobduction exhumation of Zagros blueschists inferred from  $P-T$ , deformation, time, and kinematic constraints: Implications for Neotethyan wedge dynamics", Journal of Geophysics Research., (2006) 111: B11401, doi: 10.1029/2005JB004103.

[6] Shafaii Moghadam H., Rahgoshay M., Whitechurch H., Montigny R., "A geochemical scenario for evolution of the Nain-Baft back-arc basin", Goldschmidt Conference Abstracts, (2007) A920.

[7] Shafaii Moghadam H., Robert J. Stern, Rahgoshay M., "The Dehshir ophiolite (central Iran): Geochemical constraints on the origin and evolution of the Inner Zagros ophiolite belt", Geological Society of America, 122 (2010) 1516-1547.

#### برداشت

کانی‌شناسی، ساخت، بافت و ترکیب شیمیایی کرومیت‌های آمیزه‌ی افیولیتی بافت، نشان می‌دهد که کرومیت‌های منطقه‌ی از نوع پادیفرم بوده و به صورت لایه‌های غیرممتد و یا عدسی شکل با دونیت‌های کاملاً سرپانتینیتی احاطه شده‌اند. کرومیت‌های موجود در منطقه، با میانگین  $\text{Cr}_2\text{O}_3$  برابر ۶۲/۸ درصد و میانگین  $\text{Cr}\#/\text{Mg}\#$  برابر ۰/۸۳ از نوع کرومیت غنی از Cr هستند و جزء کانسنگ‌های کرومیت درجه‌ی یک دنیا محسوب می‌شوند. با استفاده از مقدار  $\text{Cr}\#/\text{Mg}\#$  موجود در آن‌ها مشخص می‌شود که کرومیت‌های منطقه از گدازه‌ای با ترکیبی بونینیتی در یک زون ابرفرورانشی متعلق به حوضه پشت قوس، متبلور شده‌اند. به طور کلی به نظر می‌رسد که ذخایر کرومیت منطقه‌ی بافت، نخست در مجموعه‌ی افیولیتی اولیه درون غلاف‌های دونیتی، تشکیل شده و سپس با جایگیری ملاتر، به درون زون‌های برشی رانده و در آن‌جا جایگزین شده‌اند.

#### مراجع

- Berberian M., King G. C. P., "Towards a paleogeography and tectonic evolution of Iran", Canadian Journal of Earth Sciences, 18 (1981) 210-265.
- Desmons J., Beccaluva L., "Mid-ocean ridge and island arc affinities in ophiolites from Iran:

- Tehuitzingo (Acatlán Complex, southern Mexico): a petrological and mineralogical study”, Journal of South American Earth Sciences., 16 (2004) 649-666.*
- [۲۱] محمدی ن، ”کانی‌شناسی، لرزه‌خیزی و پتروژنر سرپانتینیت‌های آمیزه رنگین چهارگنب-گوغر-بافت در استان کرمان”， رساله کارشناسی ارشد، دانشگاه شهید باهنر کرمان، (۱۳۸۹)، صفحه ۲۲۵.
- [22] Arvin M., Robinson P.T., “The petrogenesis and tectonic setting of lava from Baft ophiolitic mélange, SW of Kerman/Iran”, Canadian Journal of Earth Science., 31 (1994) 824-34.
- [23] Plank T., Langmuir C. H., “An evaluation of the global variations in the major element chemistry of arc basalts”, Earth and Planetary Science Letters, 90 (1998) 349–370.
- [24] Edwards S.J., Pearce J.A., Freeman J., “New insights concerning the influence of water during the formation of podiform chromitite”, In: Dilek Y., Moores E., Elthon D. and Nicolas A.(eds), “Ophiolites and Oceanic crust : New Insights from field studies and the ocean drilling program”. Geological Society of America, Special Paper, 349 (2002) 139-147.
- [25] Jan M.Q., Windley B.F., “Chromian spinel-silicate chemistry in ultramafic rocks of the Jijal complex Northwestern Pakistan”, Journal of Petrology, 34(1990) 667–715.
- [26] Bonavia F.F., Diella V., Ferrario A., “Percambrian podiform chromitites from Kenticha Hill Southern Ethiopia”, Economical Geology, 88 (1993) 198-202.
- [27] Bridges J.C., Prichard H.M., Meireles C.A., “Podiform chromitite-bearing ultrabasic rocks from the Bragança massif, Northern Portugal: fragments of island arc mantle?”, Geological Magazine., 132 (1995) 39–49.
- [28] Ohara Y., Stern R.J., Ishii T., Yurimoto H., Yamazaki T., “Peridotites from the Mariana Trough: First look at the mantle beneath an active back-arc basin”, Contributions to Mineralogy and Petrology., 143 (2002) 1–18.
- [29] Wilson M., “Igneous petrogenesis”, London, U.K., Unwin Hyman, (1989) 466 p.
- [30] Fryer P., Taylor B., Langmuir C.H., Hochstaedter A.G., “Petrology and geochemistry of lavas from the Sumisu and Torishima backarc rifts”, Earth and Planetary Science Letters., 100 (1990) 161-178.
- [8] Duke J. M., “Magmatic segregation deposits, in Roberts, R. G. and Sheahan, P. A. (eds.), ore deposit models”, Geoscience Canada, Reprint Series 3(1988) 133-143.
- [9] Evans A. M., “Ore Geology and Industrial Minerals: An Introduction”, Blackwell Scientific Publications, (1993) 390 p.
- [10] Zhou M. F., Robinson P. T., Malpas J., Li Z., “Podiform chromitites in the Luobusa ophiolite (Southern Tibet): implications for melt-rock interaction and chromite segregation in the upper mantle”, Journal of Petrology, 37 (1996) 3-21.
- [11] Dick H. J. B., Bullen T., “Chromian spinel as a petrogenetic indicator in abyssal and alpine-type peridotites and spatially associated lavas”, Contributions to Mineralogy and Petrology 86(1) (1984) 54–76.
- [12] Arai S., “Chemistry of chromian spinel in volcanic rocks as a potential guide to magma chemistry”, Mineralogical Magazine, 56 (1992) 173-184.
- [13] Tamura A., Arai S., “Harzburgit-dunite-orthopyroxenite suite ophiolite mantle”, Lithos, 90 (2006) 43-56.
- [14] Hickey R. L., Frey F. A., “Geochemical characteristics of boninite series volcanics: implications for their source”, Geochimica et Cosmochimica Acta, 46 (1982) 2099–2115.
- [15] Matveev S., Ballhaus C., “Role of water in the origin of podiform chromitite deposits”, Earth Planet Science Letters., 203 (2002) 235–243.
- [16] Irvine T.N., “Chromian spinel as a petrogenetic indicator. Part II. Petrologic applications”, Canadian Journal of Earth Sciences., 4 (1977) 71–103.
- [17] Maurel C., Maurel O., “Etude experimentale de la distribution de l'aluminium entre bain silicate basique et spinelle chromifère. Implications petrogenétiques: teneur en chrome des spineles”, Bulletin de Mineralogie, 105(1982) 197-202.
- [18] Kamenetsky V.S., Crawford A.J., Meffre S., “Factors controlling chemistry of magmatic spinel: an empirical study of associated olivine, Cr-spinel and melt inclusions from primitive rocks”, Journal of Petrology, 42 (2001) 655–671.
- [19] Crawford A. J., Falloon T. J., Green D. H., “Classification, petrogenesis and tectonic setting of boninites”, In: Crawford, A. J. (ed.) Boninites and Related Rocks. London: Unwin Hyman, (1989) 1-49.
- [20] Proenza J.A., Ortega-Gutiérrez F., Camprubí A., Tritlla J., Elías-Herrera M., Reyes-Salas M., “Paleozoic serpentinite-enclosed chromitites from